



### 3. 解析結果

切羽面の変形は、いずれもシールド内に引き込まれる形状となった。リング掘削の場合の変形図を図-2に示す。引き込み量の最大値 $\delta$ は、泥水圧0の場合のリングシールドで $\delta=4.11\text{cm}$ 、全断面掘削では $\delta=14.40\text{cm}$ であった。土圧と等価な泥水圧を作用させた場合ではリング $\delta=1.00\text{cm}$ 、全断面 $\delta=1.02\text{cm}$ で、ほぼ同じ値となった。

またテールボイドでの変形量 $\delta_t$ は、解放力が同じであることから、いずれも $\delta_t=1.00\text{cm}$ であった。この量はテールボイド量以下の変形量である。

リング掘削の場合と全断面掘削の場合の切羽前面での要素安全率1以下の要素の分布を図-3に示す。トンネル上方への緩みはリングの場合がやや小さい。また、リングの場合の縦断面での要素安全率の分布を図-4に示す。内部残置土部分の塑性域は小さく、地山がシールドマシンの内部荷重とはならないこともあることを示唆している。

### 4. まとめ

泥水管理が十分であれば、全断面とリングシールド工法では地山への影響に大差はないが、泥水圧0の場合では、切羽前面の変位は全断面がリングの3倍以上と大きな差がある。このことより、施工時の不確実性を考慮すれば、切羽の安定にはリングシールド工法に優位性があると認められる。

### 5. おわりに

今回の解析は、土被り、地山物性とも1ケースであり、今後、パラメータのバリエーションを考慮して検討を進める予定である。なお、本研究は五洋建設㈱、住友建設㈱、㈱錢高組、東急建設㈱、日本国土開発㈱、不動建設㈱の6社の共同研究として、三菱重工業㈱、住友金属工業㈱の協力のもとに実施したものの一部である。また、本研究を進めるにあたっては早稲田大学小泉教授に貴重なご意見をいただいております。ここに深く感謝する次第である。

<参考文献> 1) 毎田他：リングシールド工法の開発

（その1）、土木学会第48回年講

2) 鶴岡他：リングシールド工法の開発（その2）、土木学会第48回年講

3) 金子他：リングシールド工法の開発（その3）、土木学会第48回年講

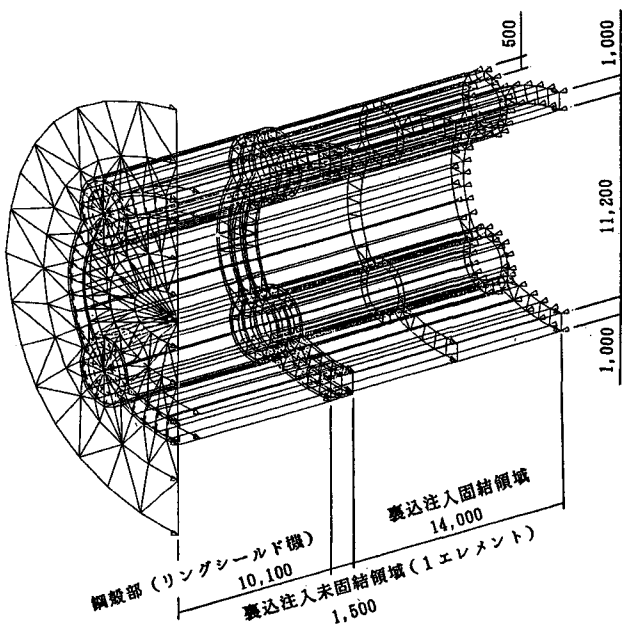


図-2 変形図（リング掘削、泥水圧 0）

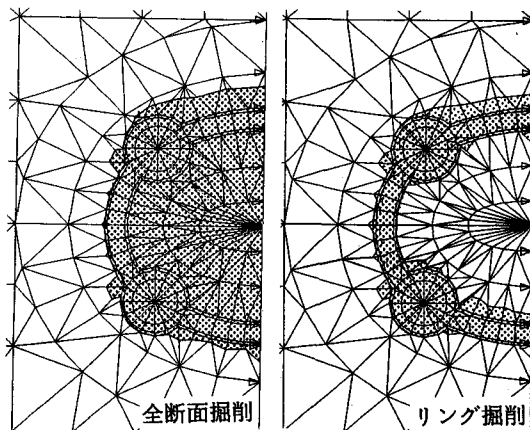


図-3 トンネル横断面の塑性域分布（切羽前面）

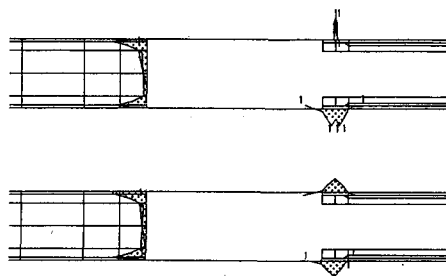


図-4 トンネル縦断面の塑性域分布